

# Eingabe: Farbmetrisches Offset-Reflexiv-System ORS18a

für Buntton  $h^* = lab^*h = 36/360 = 0.1$

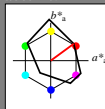
$lab^*ch$  und  $lab^*nch$

D65: Buntton O

LCH\*Ma: 35 76 36

olv\*Ma: 1.0 0.0 0.0

Dreiecks-Helligkeit  $t^*$



%Umfang

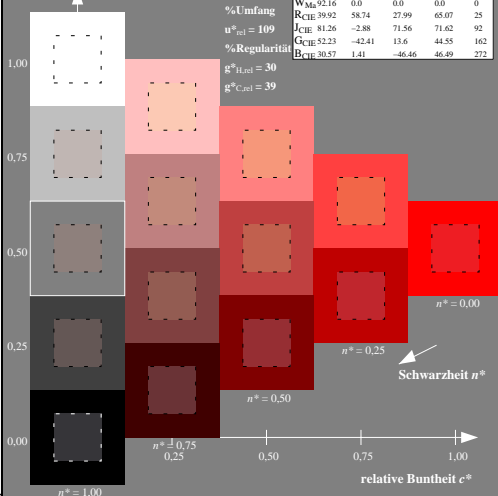
$u^*_{rel} = 109$

%Regularität

$g^*_{H,rel} = 30$

$g^*_{C,rel} = 39$

ORS18a; adaptierte CIELAB-Daten						
	$L^* = L^*_a$	$a^*_a$	$b^*_a$	$C^*_{ab,a}$	$h^*_{ab,a}$	
O <sub>Ma</sub>	35.32	60.99	44.6	75.56	36	
Y <sub>Ma</sub>	83.65	-4.11	108.86	108.94	92	
L <sub>Ma</sub>	43.49	-61.66	46.73	77.37	143	
C <sub>Ma</sub>	52.18	-28.14	-32.36	42.9	229	
V <sub>Ma</sub>	13.71	52.15	-59.7	79.28	311	
M <sub>Ma</sub>	37.69	79.56	-33.73	86.42	337	
N <sub>Ma</sub>	8.99	0.0	0.0	0.0	0	
W <sub>Ma</sub>	92.16	0.0	0.0	0.0	0	
R <sub>CIE</sub>	39.92	58.74	27.99	65.07	25	
J <sub>CIE</sub>	81.26	-2.88	71.56	71.62	92	
G <sub>CIE</sub>	52.23	-42.41	13.6	44.55	162	
B <sub>CIE</sub>	30.57	1.41	-46.46	46.49	272	



Dg640-7N, 5-stufige Reihung für konstanten CIELAB Buntton 36/360 = 0.1 (links)

Dg64: Prüfvorlage 1 nach DIN 33872-4, Buntton O, Seite 1/11  
Gleichheit für zwei Farbdefinitionen, ORS18a

# Ausgabe: Farbmetrisches Offset-Reflexiv-System ORS18a

für Buntton  $h^* = lab^*h = 36/360 = 0.1$

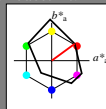
$lab^*ch$  und  $lab^*nch$

D65: Buntton O

LCH\*Ma: 35 76 36

olv\*Ma: 1.0 0.0 0.0

Dreiecks-Helligkeit  $t^*$



%Umfang

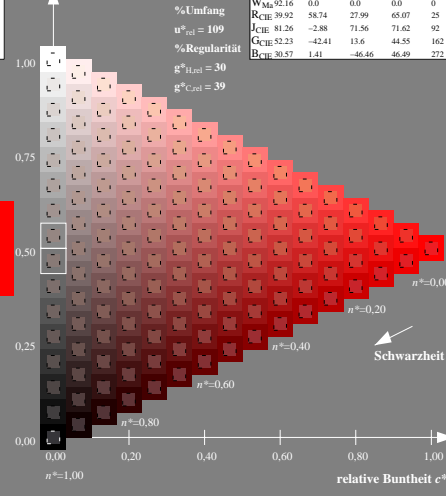
$u^*_{rel} = 109$

%Regularität

$g^*_{H,rel} = 30$

$g^*_{C,rel} = 39$

ORS18a; adaptierte CIELAB-Daten						
	$L^* = L^*_a$	$a^*_a$	$b^*_a$	$C^*_{ab,a}$	$h^*_{ab,a}$	
O <sub>Ma</sub>	35.32	60.99	44.6	75.56	36	
Y <sub>Ma</sub>	83.65	-4.11	108.86	108.94	92	
L <sub>Ma</sub>	43.49	-61.66	46.73	77.37	143	
C <sub>Ma</sub>	52.18	-28.14	-32.36	42.9	229	
V <sub>Ma</sub>	13.71	52.15	-59.7	79.28	311	
M <sub>Ma</sub>	37.69	79.56	-33.73	86.42	337	
N <sub>Ma</sub>	8.99	0.0	0.0	0.0	0	
W <sub>Ma</sub>	92.16	0.0	0.0	0.0	0	
R <sub>CIE</sub>	39.92	58.74	27.99	65.07	25	
J <sub>CIE</sub>	81.26	-2.88	71.56	71.62	92	
G <sub>CIE</sub>	52.23	-42.41	13.6	44.55	162	
B <sub>CIE</sub>	30.57	1.41	-46.46	46.49	272	



16-stufige Reihung für konstanten CIELAB Buntton 36/360 = 0.1 (rechts)

Dg64: Prüfvorlage 1 nach DIN 33872-4, Buntton O, Seite 1/11  
Eingabe: cmy0-Infeld, rgb-Umfeld  
Ausgabe: keine Eingabeänderung

**Eingabe: Farbmétrisches Offset-Reflektiv-System ORS18a**

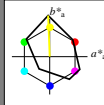
für Buntton  $h^* = lab^*h = 92/360 = 0.256$

*lab\*tch* und *lab\*nch*

D65: Buntton Y

LCH\*Ma: 84 109 92

olv\*Ma: 1.0 1.0 0.0

Dreiecks-Helligkeit  $t$ 

%Umfang

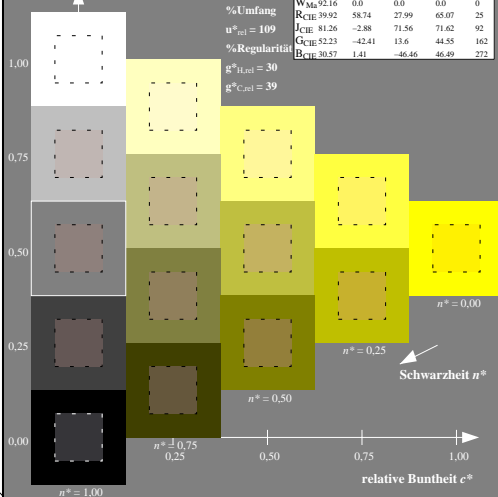
$$u_{rel}^* = 10$$

%Regularität

$$\Omega_{\text{rel}}^* = 3$$
 $\mathbf{e}^*_{\text{C}_{\text{H}}}=3$ 

114

	$L^*=L_a^*$	$a^*=a_a^*$	$b^*=b_a^*$	$C^*_{\text{ab},a}$	$h^*_{ab}$
$O_{M\lambda}$	32.53	60.99	44.6	75.56	36
$Y_{M\lambda}$	83.65	-4.11	108.86	108.94	92
$L_{M\lambda}$	43.49	-61.66	46.73	77.37	143
$C_{M\lambda}$	52.18	-28.14	-32.36	42.9	229
$V_{M\lambda}$	13.71	52.15	-59.7	79.28	311
$W_{M\lambda}$	37.69	79.56	-33.73	86.42	337
$N_{M\lambda}$	8.99	0.0	0.0	0.0	0
$W_{M\lambda}$	92.16	0.0	0.0	0.0	0
$R_{CIE}$	39.92	58.74	27.99	65.07	92
$R_{CIE}$	81.26	-2.88	71.56	71.67	25
$C_{CIE}$	52.23	-42.41	13.6	44.55	162
$R_{CIE}$	30.57	14.1	-46.46	46.49	97

Dg640-7N, 5-stufige Reihen für konstanten CIELAB Buntton  $92/360 = 0.256$  (links)

Dg64: Prüfvorlage 1 nach DIN 33872-4, Bunt  
Gleichheit für zwei Farbdefinitionen, ORS18a

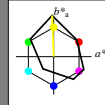
## Ausgabe: Farbmétrisches Offset-Reflektiv-System ORS18a

für Buntton  $h^* = lab^*h = 92/360 = 0.256$

*lab\*tch* und *lab\*nch*

D65: Buntton Y

LCH\*Ma: 84 109 92

`olv*Ma: 1.0 1.0 0.0`Dreiecks-Helligkeit  $t$ 

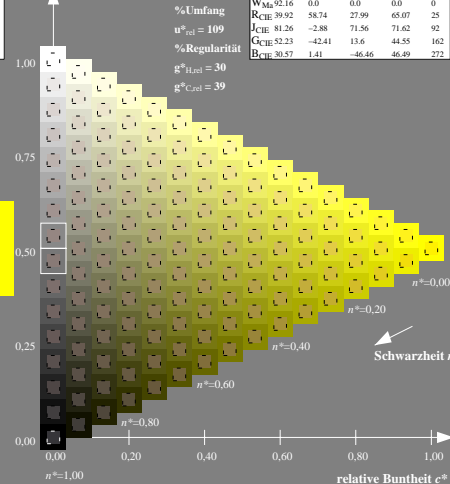
%Umfang

$$u_{\text{rel}}^* = 109$$

**%Regularität**

$$g_{\text{rel}}^* = 30$$
$$g^*_{C_{rel}} = 39$$

	$L^* = L_{ab}^*$	$a^*$	$b^*$	$C^*_{ab}$	$h^*$
$M_{\text{Na}}$	35.32	60.99	44.6	75.56	36
$Y_{\text{Ma}}$	83.65	-4.11	108.86	108.94	92
$L_{\text{Ma}}$	43.49	-61.66	64.73	77.37	143
$C_{\text{Ma}}$	52.18	-28.14	-32.36	42.9	229
$M_{\text{Ma}}$	13.71	52.15	-39.67	79.28	311
$M_{\text{Ma}}$	37.69	79.56	-33.73	86.42	337
$N_{\text{Ma}}$	8.99	0.0	0.0	0.0	0
$W_{\text{Ma}}$	92.16	0.0	0.0	0.0	0
$R_{\text{CIE}}$	39.92	58.74	27.99	65.07	25
$J_{\text{CIE}}$	81.26	-2.88	71.56	71.67	92
$C_{\text{CIE}}$	52.23	-42.41	13.6	44.55	162
$R_{\text{CIE}}$	30.57	-1.41	-46.46	46.49	273

16-stufige Reihen für konstanten CIELAB Buntton  $92/360 = 0.256$  (rechts)

Eingabe: *cmy0-Infeld*, *rgb-Umfeld*  
Ausgabe: keine Eingabeänderung

# Eingabe: Farbmetrisches Offset-Reflexiv-System ORS18a

für Buntton  $h^* = lab^*h = 143/360 = 0.397$

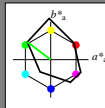
$lab^*ch$  und  $lab^*nch$

D65: Buntton L

LCH\*Ma: 43 77 143

olv\*Ma: 0.0 1.0 0.0

Dreiecks-Helligkeit  $t^*$



%Umfang

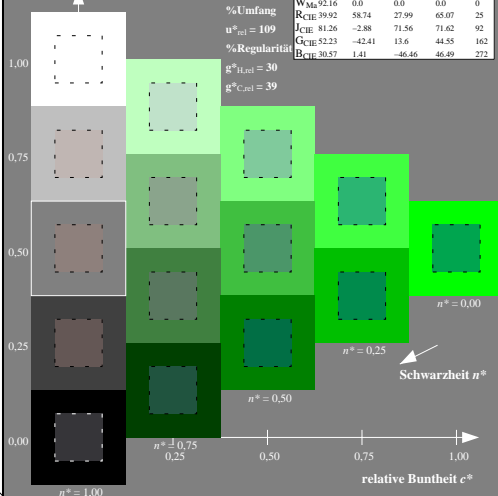
$u^*_{rel} = 109$

%Regularität

$g^*_{H,rel} = 30$

$g^*_{C,rel} = 39$

ORS18a; adaptierte CIELAB-Daten					
$L^* = L^*_a$	$a^*_a$	$b^*_a$	$C^*_{ab,a}$	$h^*_{ab,a}$	
O <sub>Ma</sub> 35.32	60.99	44.6	75.56	36	
Y <sub>Ma</sub> 83.65	-4.11	108.86	108.94	92	
L <sub>Ma</sub> 43.49	-61.66	46.73	77.37	143	
C <sub>Ma</sub> 52.18	-28.14	-32.36	42.9	229	
V <sub>Ma</sub> 13.71	52.15	-59.7	79.28	311	
M <sub>Ma</sub> 37.69	79.56	-33.73	86.42	337	
N <sub>Ma</sub> 8.99	0.0	0.0	0.0	0	
W <sub>Ma</sub> 92.16	0.0	0.0	0.0	0	
R <sub>CIE</sub> 39.92	58.74	27.99	65.07	25	
J <sub>CIE</sub> 81.26	-2.88	71.56	71.62	92	
G <sub>CIE</sub> 52.23	-42.41	13.6	44.55	162	
B <sub>CIE</sub> 30.57	1.41	-46.46	46.49	272	



Dg640-7/N, 5-stufige Reihen für konstanten CIELAB Buntton 143/360 = 0.397 (links)

Dg64: Prüfvorlage 1 nach DIN 33872-4, Buntton L, Seite 3/11  
Gleichheit für zwei Farbdefinitionen, ORS18a

# Ausgabe: Farbmetrisches Offset-Reflexiv-System ORS18a

für Buntton  $h^* = lab^*h = 143/360 = 0.397$

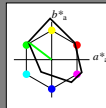
$lab^*ch$  und  $lab^*nch$

D65: Buntton L

LCH\*Ma: 43 77 143

olv\*Ma: 0.0 1.0 0.0

Dreiecks-Helligkeit  $t^*$



%Umfang

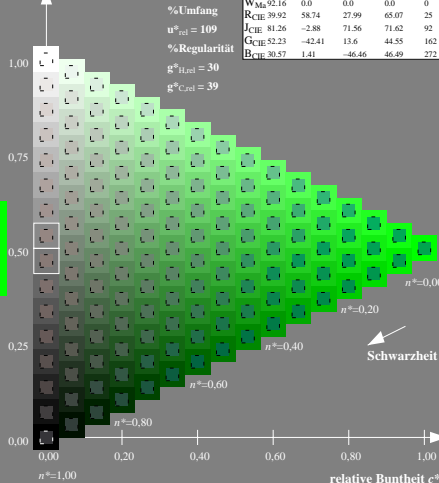
$u^*_{rel} = 109$

%Regularität

$g^*_{H,rel} = 30$

$g^*_{C,rel} = 39$

ORS18a; adaptierte CIELAB-Daten					
$L^* = L^*_a$	$a^*_a$	$b^*_a$	$C^*_{ab,a}$	$h^*_{ab,a}$	
O <sub>Ma</sub> 35.32	60.99	44.6	75.56	36	
Y <sub>Ma</sub> 83.65	-4.11	108.86	108.94	92	
L <sub>Ma</sub> 43.49	-61.66	46.73	77.37	143	
C <sub>Ma</sub> 52.18	-28.14	-32.36	42.9	229	
V <sub>Ma</sub> 13.71	52.15	-59.7	79.28	311	
M <sub>Ma</sub> 37.69	79.56	-33.73	86.42	337	
N <sub>Ma</sub> 8.99	0.0	0.0	0.0	0	
W <sub>Ma</sub> 92.16	0.0	0.0	0.0	0	
R <sub>CIE</sub> 39.92	58.74	27.99	65.07	25	
J <sub>CIE</sub> 81.26	-2.88	71.56	71.62	92	
G <sub>CIE</sub> 52.23	-42.41	13.6	44.55	162	
B <sub>CIE</sub> 30.57	1.41	-46.46	46.49	272	



16-stufige Reihen für konstanten CIELAB Buntton 143/360 = 0.397 (rechts)

Eingabe: *cmY0-Infeld, rgb-Umfeld*  
Ausgabe: keine Eingabeänderung

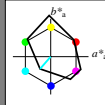
Eingabe: Farbmetrisches Offset-Refektiv-System ORS18a

für Buntton  $h^* = lab^*h = 229/360 = 0.636$  $lab^*ch$  und  $lab^*nch$ 

D65: Buntton C

LCH\*Ma: 52 43 229

olv\*Ma: 0.0 1.0 1.0

Dreiecks-Helligkeit  $t^*$ 

%Umfang

 $u^*_{rel} = 109$ 

%Regularität

 $g^*_{H,rel} = 30$  $g^*_{C,rel} = 39$ 

ORS18a; adaptierte CIELAB-Daten					
$L^* = L^*_a$	$a^*_a$	$b^*_a$	$C^*_{ab,a}$	$h^*_{ab,a}$	
O <sub>Ma</sub> 35.32	60.99	44.6	75.56	36	
Y <sub>Ma</sub> 83.65	-4.11	108.86	108.94	92	
L <sub>Ma</sub> 43.49	-61.66	46.73	77.37	143	
C <sub>Ma</sub> 52.18	-28.14	-32.36	42.9	229	
V <sub>Ma</sub> 13.71	52.15	-59.7	79.28	311	
M <sub>Ma</sub> 37.69	79.56	-33.73	86.42	337	
N <sub>Ma</sub> 8.99	0.0	0.0	0.0	0	
W <sub>Ma</sub> 92.16	0.0	0.0	0.0	0	
R <sub>CIE</sub> 39.92	58.74	27.99	65.07	25	
J <sub>CIE</sub> 81.26	-2.88	71.56	71.62	92	
G <sub>CIE</sub> 52.23	-42.41	13.6	44.55	162	
B <sub>CIE</sub> 30.57	1.41	-46.46	46.49	272	

Schwarzheit  $n^*$ relative Buntheit  $c^*$ 

Dg640-7/N, 5-stufige Reihen für konstanten CIELAB Buntton 229/360 = 0.636 (links)

Dg64: Prüfvorlage 1 nach DIN 33872-4, Buntton C, Seite 4/11

Gleichheit für zwei Farbdefinitionen, ORS18a

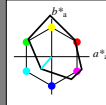
Ausgabe: Farbmetrisches Offset-Refektiv-System ORS18a

für Buntton  $h^* = lab^*h = 229/360 = 0.636$  $lab^*ch$  und  $lab^*nch$ 

D65: Buntton C

LCH\*Ma: 52 43 229

olv\*Ma: 0.0 1.0 1.0

Dreiecks-Helligkeit  $t^*$ 

%Umfang

 $u^*_{rel} = 109$ 

%Regularität

 $g^*_{H,rel} = 30$  $g^*_{C,rel} = 39$ 

ORS18a; adaptierte CIELAB-Daten					
$L^* = L^*_a$	$a^*_a$	$b^*_a$	$C^*_{ab,a}$	$h^*_{ab,a}$	
O <sub>Ma</sub> 35.32	60.99	44.6	75.56	36	
Y <sub>Ma</sub> 83.65	-4.11	108.86	108.94	92	
L <sub>Ma</sub> 43.49	-61.66	46.73	77.37	143	
C <sub>Ma</sub> 52.18	-28.14	-32.36	42.9	229	
V <sub>Ma</sub> 13.71	52.15	-59.7	79.28	311	
M <sub>Ma</sub> 37.69	79.56	-33.73	86.42	337	
N <sub>Ma</sub> 8.99	0.0	0.0	0.0	0	
W <sub>Ma</sub> 92.16	0.0	0.0	0.0	0	
R <sub>CIE</sub> 39.92	58.74	27.99	65.07	25	
J <sub>CIE</sub> 81.26	-2.88	71.56	71.62	92	
G <sub>CIE</sub> 52.23	-42.41	13.6	44.55	162	
B <sub>CIE</sub> 30.57	1.41	-46.46	46.49	272	

Schwarzheit  $n^*$ relative Buntheit  $c^*$ 

16-stufige Reihen für konstanten CIELAB Buntton 229/360 = 0.636 (rechts)

Dg64: Prüfvorlage 1 nach DIN 33872-4, Buntton C, Seite 4/11

Eingabe: cmy0-Infeld, rgb-Umfeld

Ausgabe: keine Eingabeänderung

# Eingabe: Farbmetrisches Offset-Reflexiv-System ORS18a

für Buntton  $h^* = lab^*h = 311/360 = 0.864$

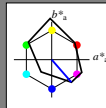
$lab^*ch$  und  $lab^*nch$

D65: Buntton V

LCH\*Ma: 14 79 311

olv\*Ma: 0.0 0.0 1.0

Dreiecks-Helligkeit  $t^*$



%Umfang

$u^*_{rel} = 109$

%Regularität

$g^*_{H,rel} = 30$

$g^*_{C,rel} = 39$

ORS18a; adaptierte CIELAB-Daten

	$L^*=L^*_a$	$a^*_a$	$b^*_a$	$C^*_{ab,a}$	$h^*_{ab,a}$
O <sub>Ma</sub>	35.32	60.99	44.6	75.56	36
Y <sub>Ma</sub>	83.65	-4.11	108.86	108.94	92
L <sub>Ma</sub>	43.49	-61.66	46.73	77.37	143
C <sub>Ma</sub>	52.18	-28.14	-32.36	42.9	229
V <sub>Ma</sub>	13.71	52.15	-59.7	79.28	311
M <sub>Ma</sub>	37.69	79.56	-33.73	86.42	337
N <sub>Ma</sub>	8.99	0.0	0.0	0.0	0
W <sub>Ma</sub>	92.16	0.0	0.0	0.0	0
R <sub>CIE</sub>	39.92	58.74	27.99	65.07	25
J <sub>CIE</sub>	81.26	-2.88	71.56	71.62	92
G <sub>CIE</sub>	52.23	-42.41	13.6	44.55	162
B <sub>CIE</sub>	30.57	1.41	-46.46	46.49	272

# Ausgabe: Farbmetrisches Offset-Reflexiv-System ORS18a

für Buntton  $h^* = lab^*h = 311/360 = 0.864$

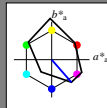
$lab^*ch$  und  $lab^*nch$

D65: Buntton V

LCH\*Ma: 14 79 311

olv\*Ma: 0.0 0.0 1.0

Dreiecks-Helligkeit  $t^*$



%Umfang

$u^*_{rel} = 109$

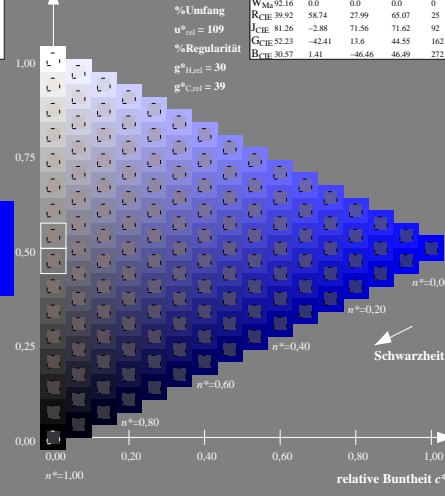
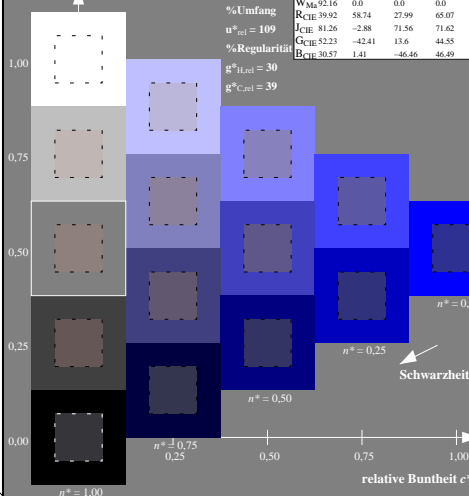
%Regularität

$g^*_{H,rel} = 30$

$g^*_{C,rel} = 39$

ORS18a; adaptierte CIELAB-Daten

	$L^*=L^*_a$	$a^*_a$	$b^*_a$	$C^*_{ab,a}$	$h^*_{ab,a}$
O <sub>Ma</sub>	35.32	60.99	44.6	75.56	36
Y <sub>Ma</sub>	83.65	-4.11	108.86	108.94	92
L <sub>Ma</sub>	43.49	-61.66	46.73	77.37	143
C <sub>Ma</sub>	52.18	-28.14	-32.36	42.9	229
V <sub>Ma</sub>	13.71	52.15	-59.7	79.28	311
M <sub>Ma</sub>	37.69	79.56	-33.73	86.42	337
N <sub>Ma</sub>	8.99	0.0	0.0	0.0	0
W <sub>Ma</sub>	92.16	0.0	0.0	0.0	0
R <sub>CIE</sub>	39.92	58.74	27.99	65.07	25
J <sub>CIE</sub>	81.26	-2.88	71.56	71.62	92
G <sub>CIE</sub>	52.23	-42.41	13.6	44.55	162
B <sub>CIE</sub>	30.57	1.41	-46.46	46.49	272



Dg64-7/N, 5-stufige Reihen für konstanten CIELAB Buntton 311/360 = 0.864 (links)

16-stufige Reihen für konstanten CIELAB Buntton 311/360 = 0.864 (rechts)

Dg64: Prüfvorlage 1 nach DIN 33872-4, Buntton V, Seite 5/11  
Gleichheit für zwei Farbdefinitionen, ORS18a

Eingabe: *cmY0-Infeld, rgb-Umfeld*  
Ausgabe: keine Eingabeänderung

# Eingabe: Farbmetrisches Offset-Reflexiv-System ORS18a

für Buntton  $h^* = lab^*h = 337/360 = 0.936$

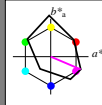
$lab^*ch$  und  $lab^*nch$

D65: Buntton M

LCH\*Ma: 38 86 337

olv\*Ma: 1.0 0.0 1.0

Dreiecks-Helligkeit  $t^*$



%Umfang

$u^*_{rel} = 109$

%Regularität

$g^*_{H,rel} = 30$

$g^*_{C,rel} = 39$

ORS18a; adaptierte CIELAB-Daten						
$L^* = L^*_a$	$a^*_a$	$b^*_a$	$C^*_{ab,a}$	$h^*_{ab,a}$		
O <sub>Ma</sub> 35.32	60.99	44.6	75.56	36		
Y <sub>Ma</sub> 83.65	-4.11	108.86	108.94	92		
L <sub>Ma</sub> 43.49	-61.66	46.73	77.37	143		
C <sub>Ma</sub> 52.18	-28.14	-32.36	42.9	229		
V <sub>Ma</sub> 13.71	52.15	-59.7	79.28	311		
M <sub>Ma</sub> 37.69	79.56	-33.73	86.42	337		
N <sub>Ma</sub> 8.99	0.0	0.0	0.0	0		
W <sub>Ma</sub> 92.16	0.0	0.0	0.0	0		
R <sub>CIE</sub> 39.92	58.74	27.99	65.07	25		
J <sub>CIE</sub> 81.26	-2.88	71.56	71.62	92		
G <sub>CIE</sub> 52.23	-42.41	13.6	44.55	162		
B <sub>CIE</sub> 30.57	1.41	-46.46	46.49	272		

# Ausgabe: Farbmetrisches Offset-Reflexiv-System ORS18a

für Buntton  $h^* = lab^*h = 337/360 = 0.936$

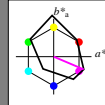
$lab^*ch$  und  $lab^*nch$

D65: Buntton M

LCH\*Ma: 38 86 337

olv\*Ma: 1.0 0.0 1.0

Dreiecks-Helligkeit  $t^*$



%Umfang

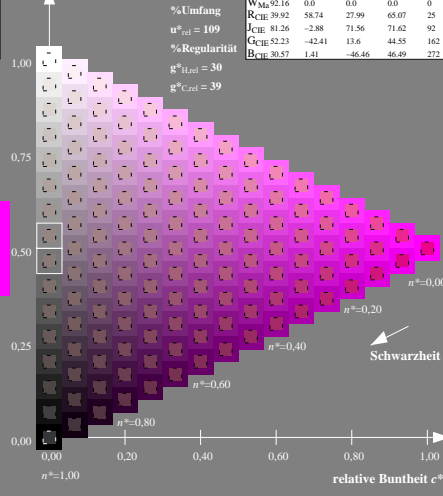
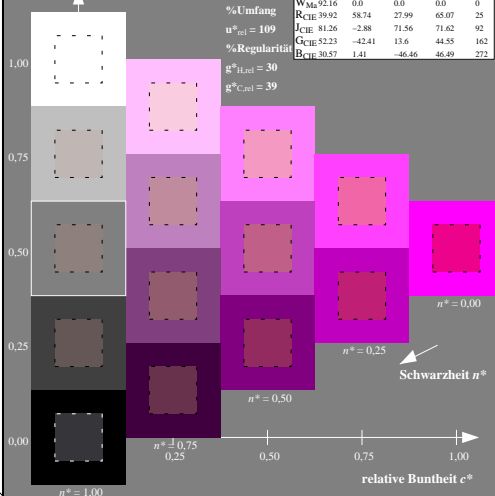
$u^*_{rel} = 109$

%Regularität

$g^*_{H,rel} = 30$

$g^*_{C,rel} = 39$

ORS18a; adaptierte CIELAB-Daten						
$L^* = L^*_a$	$a^*_a$	$b^*_a$	$C^*_{ab,a}$	$h^*_{ab,a}$		
O <sub>Ma</sub> 35.32	60.99	44.6	75.56	36		
Y <sub>Ma</sub> 83.65	-4.11	108.86	108.94	92		
L <sub>Ma</sub> 43.49	-61.66	46.73	77.37	143		
C <sub>Ma</sub> 52.18	-28.14	-32.36	42.9	229		
V <sub>Ma</sub> 13.71	52.15	-59.7	79.28	311		
M <sub>Ma</sub> 37.69	79.56	-33.73	86.42	337		
N <sub>Ma</sub> 8.99	0.0	0.0	0.0	0		
W <sub>Ma</sub> 92.16	0.0	0.0	0.0	0		
R <sub>CIE</sub> 39.92	58.74	27.99	65.07	25		
J <sub>CIE</sub> 81.26	-2.88	71.56	71.62	92		
G <sub>CIE</sub> 52.23	-42.41	13.6	44.55	162		
B <sub>CIE</sub> 30.57	1.41	-46.46	46.49	272		



Dg640-7N, 5-stufige Reihen für konstanten CIELAB Buntton 337/360 = 0.936 (links)

16-stufige Reihen für konstanten CIELAB Buntton 337/360 = 0.936 (rechts)

Dg64: Prüfvorlage 1 nach DIN 33872-4, Buntton M, Seite 6/11 Eingabe: *cmY0-Infeld, rgb-Umfeld*  
Gleichheit für zwei Farbdefinitionen, ORS18a

Ausgabe: keine Eingabeänderung

# Eingabe: Farbmimetrisches Offset-Reflexiv-System ORS18a

für Buntton  $h^* = lab^*h = 25/360 = 0.071$

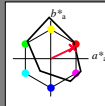
$lab^*tch$  und  $lab^*nch$

D65: Buntton R

LCH\*Ma: 36 71 25

olv\*Ma: 1.0 0.0 0.18

Dreiecks-Helligkeit  $t^*$



%Umfang

$u^*_{rel} = 109$

%Regularität

$g^*_{H,rel} = 30$

$g^*_{C,rel} = 39$

ORS18a; adaptierte CIELAB-Daten					
	$L^* = L^*_a$	$a^*_a$	$b^*_a$	$C^*_{ab,a}$	$h^*_{ab,a}$
O <sub>Ma</sub>	35.32	60.99	44.6	75.56	36
Y <sub>Ma</sub>	83.65	-4.11	108.86	108.94	92
L <sub>Ma</sub>	43.49	-61.66	46.73	77.37	143
C <sub>Ma</sub>	52.18	-28.14	-32.36	42.9	229
V <sub>Ma</sub>	13.71	52.15	-59.7	79.28	311
M <sub>Ma</sub>	37.69	79.56	-33.73	86.42	337
N <sub>Ma</sub>	8.99	0.0	0.0	0.0	0
W <sub>Ma</sub>	92.16	0.0	0.0	0.0	0
R <sub>CIE</sub>	39.92	58.74	27.99	65.07	25
J <sub>CIE</sub>	81.26	-2.88	71.56	71.62	92
G <sub>CIE</sub>	52.23	-42.41	13.6	44.55	162
B <sub>CIE</sub>	30.57	1.41	-46.46	46.49	272

# Ausgabe: Farbmimetrisches Offset-Reflexiv-System ORS18a

für Buntton  $h^* = lab^*h = 25/360 = 0.071$

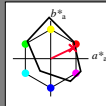
$lab^*tch$  und  $lab^*nch$

D65: Buntton R

LCH\*Ma: 36 71 25

olv\*Ma: 1.0 0.0 0.18

Dreiecks-Helligkeit  $t^*$



%Umfang

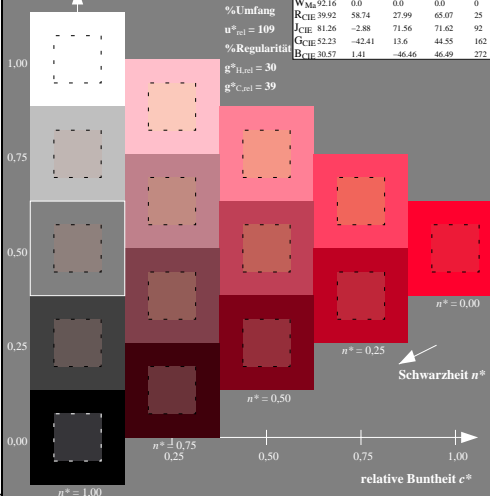
$u^*_{rel} = 109$

%Regularität

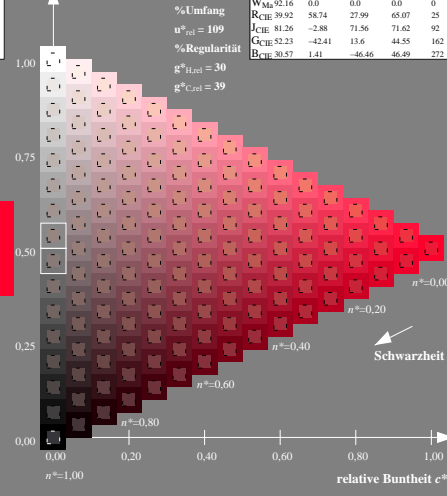
$g^*_{H,rel} = 30$

$g^*_{C,rel} = 39$

ORS18a; adaptierte CIELAB-Daten					
	$L^* = L^*_a$	$a^*_a$	$b^*_a$	$C^*_{ab,a}$	$h^*_{ab,a}$
O <sub>Ma</sub>	35.32	60.99	44.6	75.56	36
Y <sub>Ma</sub>	83.65	-4.11	108.86	108.94	92
L <sub>Ma</sub>	43.49	-61.66	46.73	77.37	143
C <sub>Ma</sub>	52.18	-28.14	-32.36	42.9	229
V <sub>Ma</sub>	13.71	52.15	-59.7	79.28	311
M <sub>Ma</sub>	37.69	79.56	-33.73	86.42	337
N <sub>Ma</sub>	8.99	0.0	0.0	0.0	0
W <sub>Ma</sub>	92.16	0.0	0.0	0.0	0
R <sub>CIE</sub>	39.92	58.74	27.99	65.07	25
J <sub>CIE</sub>	81.26	-2.88	71.56	71.62	92
G <sub>CIE</sub>	52.23	-42.41	13.6	44.55	162
B <sub>CIE</sub>	30.57	1.41	-46.46	46.49	272



Dg640-7N, 5-stufige Reihen für konstanten CIELAB Buntton 25/360 = 0.071 (links)



16-stufige Reihen für konstanten CIELAB Buntton 25/360 = 0.071 (rechts)

Dg64: Prüfvorlage 1 nach DIN 33872-4, Buntton R, Seite 7/11  
Gleichheit für zwei Farbdefinitionen, ORS18a

Eingabe: *cmY0-Infeld, rgb-Umfeld*  
Ausgabe: keine Eingabeänderung

# Eingabe: Farbmetrisches Offset-Reflexiv-System ORS18a

für Buntton  $h^* = lab^*h = 92/360 = 0.256$

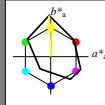
$lab^*tch$  und  $lab^*nch$

D65: Buntton J

LCH\*Ma: 83 109 92

olv\*Ma: 1.0 1.0 0.0

Dreiecks-Helligkeit  $t^*$



%Umfang

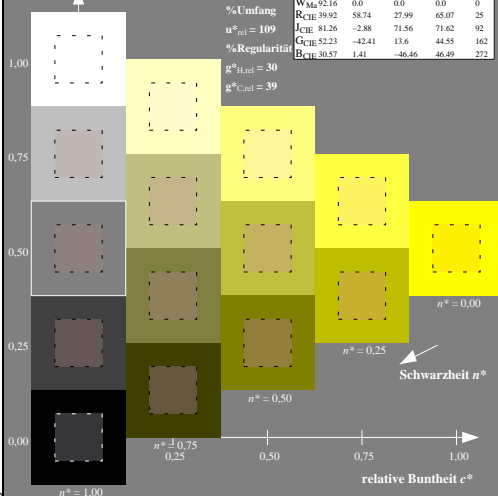
$u^*_{rel} = 109$

%Regularität

$g^*_{H,rel} = 30$

$g^*_{C,rel} = 39$

ORS18a; adaptierte CIELAB-Daten						
	$L^*=L^*_a$	$a^*_a$	$b^*_a$	$C^*_{ab,a}$	$h^*_{ab,a}$	
O <sub>Ma</sub>	35.32	60.99	44.6	75.56	36	
Y <sub>Ma</sub>	83.65	-4.11	108.86	108.94	92	
L <sub>Ma</sub>	43.49	-61.66	46.73	77.37	143	
C <sub>Ma</sub>	52.18	-28.14	-32.36	42.9	229	
V <sub>Ma</sub>	13.71	52.15	-59.7	79.28	311	
M <sub>Ma</sub>	37.69	79.56	-33.73	86.42	337	
N <sub>Ma</sub>	8.99	0.0	0.0	0.0	0	
W <sub>Ma</sub>	92.16	0.0	0.0	0.0	0	
R <sub>CIE</sub>	39.92	58.74	27.99	65.07	25	
J <sub>CIE</sub>	81.26	-2.88	71.56	71.62	92	
G <sub>CIE</sub>	52.23	-42.41	13.6	44.55	162	
B <sub>CIE</sub>	30.57	1.41	-46.46	46.49	272	



Dg640-7/N, 5-stufige Reihen für konstanten CIELAB Buntton 92/360 = 0.256 (links)

Dg64: Prüfvorlage 1 nach DIN 33872-4, Buntton J, Seite 8/11  
Gleichheit für zwei Farbdefinitionen, ORS18a

# Ausgabe: Farbmetrisches Offset-Reflexiv-System ORS18a

für Buntton  $h^* = lab^*h = 92/360 = 0.256$

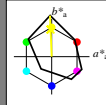
$lab^*tch$  und  $lab^*nch$

D65: Buntton J

LCH\*Ma: 83 109 92

olv\*Ma: 1.0 1.0 0.0

Dreiecks-Helligkeit  $t^*$



%Umfang

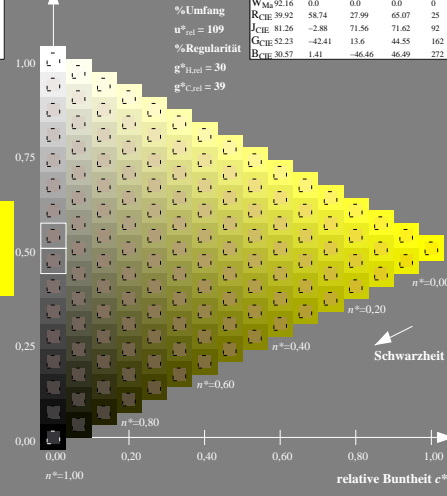
$u^*_{rel} = 109$

%Regularität

$g^*_{H,rel} = 30$

$g^*_{C,rel} = 39$

ORS18a; adaptierte CIELAB-Daten						
	$L^*=L^*_a$	$a^*_a$	$b^*_a$	$C^*_{ab,a}$	$h^*_{ab,a}$	
O <sub>Ma</sub>	35.32	60.99	44.6	75.56	36	
Y <sub>Ma</sub>	83.65	-4.11	108.86	108.94	92	
L <sub>Ma</sub>	43.49	-61.66	46.73	77.37	143	
C <sub>Ma</sub>	52.18	-28.14	-32.36	42.9	229	
V <sub>Ma</sub>	13.71	52.15	-59.7	79.28	311	
M <sub>Ma</sub>	37.69	79.56	-33.73	86.42	337	
N <sub>Ma</sub>	8.99	0.0	0.0	0.0	0	
W <sub>Ma</sub>	92.16	0.0	0.0	0.0	0	
R <sub>CIE</sub>	39.92	58.74	27.99	65.07	25	
J <sub>CIE</sub>	81.26	-2.88	71.56	71.62	92	
G <sub>CIE</sub>	52.23	-42.41	13.6	44.55	162	
B <sub>CIE</sub>	30.57	1.41	-46.46	46.49	272	



16-stufige Reihen für konstanten CIELAB Buntton 92/360 = 0.256 (rechts)

Dg64: Prüfvorlage 1 nach DIN 33872-4, Buntton J, Seite 8/11  
Eingabe: cmy0-Infeld, rgb-Umfeld  
Ausgabe: keine Eingabeänderung



# Eingabe: Farbmetrisches Offset-Reflexiv-System ORS18a

für Buntton  $h^* = lab^*h = 162/360 = 0.451$

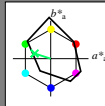
$lab^*ch$  und  $lab^*nch$

D65: Buntton G

LCH\*Ma: 47 51 162

olv\*Ma: 0.0 1.0 0.39

Dreiecks-Helligkeit  $t^*$



%Umfang

$u^*_{rel} = 109$

%Regularität

$g^*_{H,rel} = 30$

$g^*_{C,rel} = 39$

## ORS18a; adaptierte CIELAB-Daten

	$L^* = L^*_a$	$a^*_a$	$b^*_a$	$C^*_{ab,a}$	$h^*_{ab,a}$
O <sub>Ma</sub>	35.32	60.99	44.6	75.56	36
Y <sub>Ma</sub>	83.65	-4.11	108.86	108.94	92
L <sub>Ma</sub>	43.49	-61.66	46.73	77.37	143
C <sub>Ma</sub>	52.18	-28.14	-32.36	42.9	229
V <sub>Ma</sub>	13.71	52.15	-59.7	79.28	311
M <sub>Ma</sub>	37.69	79.56	-33.73	86.42	337
N <sub>Ma</sub>	8.99	0.0	0.0	0.0	0
W <sub>Ma</sub>	92.16	0.0	0.0	0.0	0
R <sub>CIE</sub>	39.92	58.74	27.99	65.07	25
J <sub>CIE</sub>	81.26	-2.88	71.56	71.62	92
G <sub>CIE</sub>	52.23	-42.41	13.6	44.55	162
B <sub>CIE</sub>	30.57	1.41	-46.46	46.49	272

# Ausgabe: Farbmetrisches Offset-Reflexiv-System ORS18a

für Buntton  $h^* = lab^*h = 162/360 = 0.451$

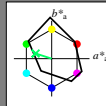
$lab^*ch$  und  $lab^*nch$

D65: Buntton G

LCH\*Ma: 47 51 162

olv\*Ma: 0.0 1.0 0.39

Dreiecks-Helligkeit  $t^*$



%Umfang

$u^*_{rel} = 109$

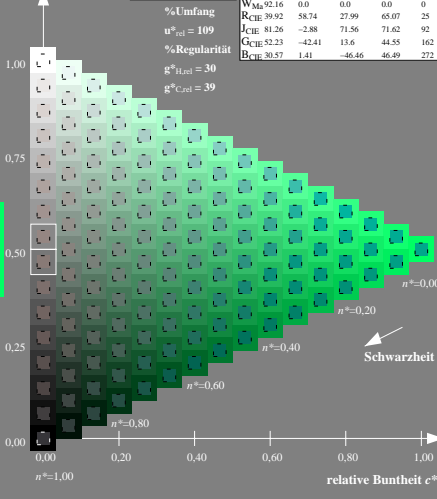
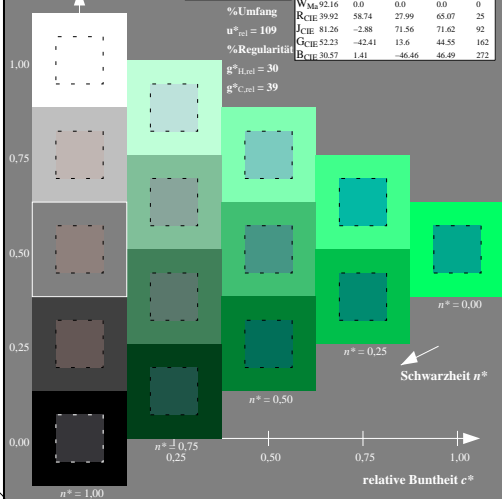
%Regularität

$g^*_{H,rel} = 30$

$g^*_{C,rel} = 39$

## ORS18a; adaptierte CIELAB-Daten

	$L^* = L^*_a$	$a^*_a$	$b^*_a$	$C^*_{ab,a}$	$h^*_{ab,a}$
O <sub>Ma</sub>	35.32	60.99	44.6	75.56	36
Y <sub>Ma</sub>	83.65	-4.11	108.86	108.94	92
L <sub>Ma</sub>	43.49	-61.66	46.73	77.37	143
C <sub>Ma</sub>	52.18	-28.14	-32.36	42.9	229
V <sub>Ma</sub>	13.71	52.15	-59.7	79.28	311
M <sub>Ma</sub>	37.69	79.56	-33.73	86.42	337
N <sub>Ma</sub>	8.99	0.0	0.0	0.0	0
W <sub>Ma</sub>	92.16	0.0	0.0	0.0	0
R <sub>CIE</sub>	39.92	58.74	27.99	65.07	25
J <sub>CIE</sub>	81.26	-2.88	71.56	71.62	92
G <sub>CIE</sub>	52.23	-42.41	13.6	44.55	162
B <sub>CIE</sub>	30.57	1.41	-46.46	46.49	272



Dg640-7/N, 5-stufige Reihen für konstanten CIELAB Buntton 162/360 = 0.451 (links)

16-stufige Reihen für konstanten CIELAB Buntton 162/360 = 0.451 (rechts)

Dg64: Prüfvorlage 1 nach DIN 33872-4, Buntton G, Seite 9/11  
Gleichheit für zwei Farbdefinitionen, ORS18a

Eingabe: *cmY0-Infeld, rgb-Umfeld*  
Ausgabe: keine Eingabeänderung

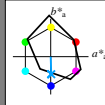
## Eingabe: Farbmetrisches Offset-Reflexiv-System ORS18a

für Buntton  $h^* = lab^*h = 272/360 = 0.755$  $lab^*ch$  und  $lab^*nch$ 

D65: Buntton B

LCH\*Ma: 38 42 272

olv\*Ma: 0.0 0.63 1.0

Dreiecks-Helligkeit  $t^*$ 

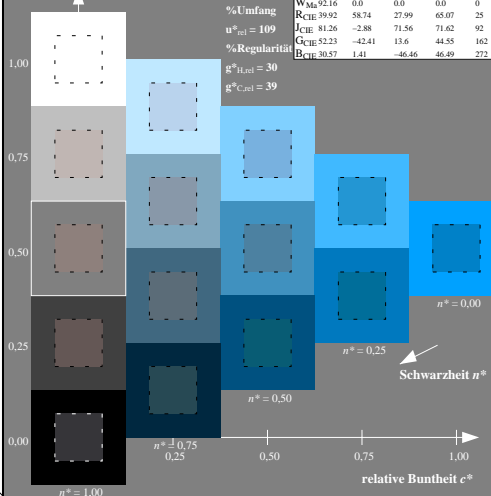
%Umfang

 $u^*_{rel} = 109$ 

%Regularität

 $g^*_{H,rel} = 30$  $g^*_{C,rel} = 39$ 

ORS18a; adaptierte CIELAB-Daten					
	$L^* = L^*_a$	$a^*_a$	$b^*_a$	$C^*_{ab,a}$	$h^*_{ab,a}$
O <sub>Ma</sub>	35.32	60.99	44.6	75.56	36
Y <sub>Ma</sub>	83.65	-4.11	108.86	108.94	92
L <sub>Ma</sub>	43.49	-61.66	46.73	77.37	143
C <sub>Ma</sub>	52.18	-28.14	-32.36	42.9	229
V <sub>Ma</sub>	13.71	52.15	-59.7	79.28	311
M <sub>Ma</sub>	37.69	79.56	-33.73	86.42	337
N <sub>Ma</sub>	8.99	0.0	0.0	0.0	0
W <sub>Ma</sub>	92.16	0.0	0.0	0.0	0
R <sub>CIE</sub>	39.92	58.74	27.99	65.07	25
J <sub>CIE</sub>	81.26	-2.88	71.56	71.62	92
G <sub>CIE</sub>	52.23	-42.41	13.6	44.55	162
B <sub>CIE</sub>	30.57	1.41	-46.46	46.49	272



Dg640-7/N, 5-stufige Reihen für konstanten CIELAB Buntton 272/360 = 0.755 (links)

Dg64: Prüfvorlage 1 nach DIN 33872-4, Buntton B, Seite 10/11  
Gleichheit für zwei Farbdefinitionen, ORS18a

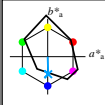
## Ausgabe: Farbmetrisches Offset-Reflexiv-System ORS18a

für Buntton  $h^* = lab^*h = 272/360 = 0.755$  $lab^*ch$  und  $lab^*nch$ 

D65: Buntton B

LCH\*Ma: 38 42 272

olv\*Ma: 0.0 0.63 1.0

Dreiecks-Helligkeit  $t^*$ 

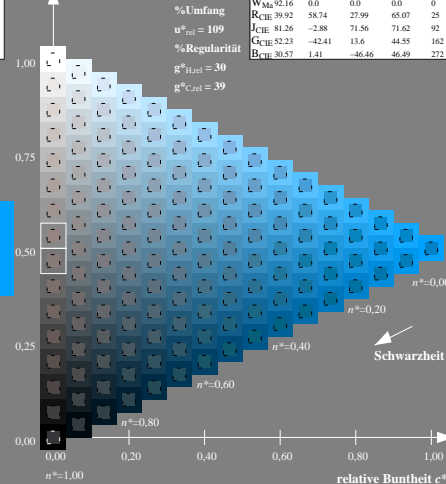
%Umfang

 $u^*_{rel} = 109$ 

%Regularität

 $g^*_{H,rel} = 30$  $g^*_{C,rel} = 39$ 

ORS18a; adaptierte CIELAB-Daten					
	$L^* = L^*_a$	$a^*_a$	$b^*_a$	$C^*_{ab,a}$	$h^*_{ab,a}$
O <sub>Ma</sub>	35.32	60.99	44.6	75.56	36
Y <sub>Ma</sub>	83.65	-4.11	108.86	108.94	92
L <sub>Ma</sub>	43.49	-61.66	46.73	77.37	143
C <sub>Ma</sub>	52.18	-28.14	-32.36	42.9	229
V <sub>Ma</sub>	13.71	52.15	-59.7	79.28	311
M <sub>Ma</sub>	37.69	79.56	-33.73	86.42	337
N <sub>Ma</sub>	8.99	0.0	0.0	0.0	0
W <sub>Ma</sub>	92.16	0.0	0.0	0.0	0
R <sub>CIE</sub>	39.92	58.74	27.99	65.07	25
J <sub>CIE</sub>	81.26	-2.88	71.56	71.62	92
G <sub>CIE</sub>	52.23	-42.41	13.6	44.55	162
B <sub>CIE</sub>	30.57	1.41	-46.46	46.49	272



16-stufige Reihen für konstanten CIELAB Buntton 272/360 = 0.755 (rechts)

Dg64: Prüfvorlage 1 nach DIN 33872-4, Buntton B, Seite 10/11  
Eingabe: cmy0-Infeld, rgb-Umfeld  
Ausgabe: keine Eingabeänderung